

مورفولوژی و فراساختار تک لایه سلولی اپی‌تیلیوم قطبی آندومتر موش در محیط کشت

مهری آزادبخت.^{۱*} مجتبی رضازاده و لوجردی.^{۲**} سیدجواد مولی.^{۳***} Ph.D., M.Sc.

* گروه علوم تشریح دانشگاه تربیت مدرس

** گروه جنین‌شناسی پژوهشکده رویان، بخش تحقیقات

*** گروه زنتیک دانشگاه تربیت مدرس

تاریخ وصول: اردیبهشت ماه ۸۴، تاریخ پذیرش: خرداد ماه ۸۴

چکیده

هدف: بررسی مورفولوژی و فراساختار تک لایه سلولی اپی‌تیلیوم قطبی آندومتر موش پس از کشت روی ماتریژل در مدل کشت دو حفره‌ای

مواد و روشها: سلولهای اپی‌تیلیوم آندومتر رحم از موشهای نژاد NMRI با سن شش تا ده هفته به روش آنزیمی با استفاده از کلائزناز ۲۵٪ درصد جداسازی شد و قطعات سلولهای اپی‌تیلیال بر فیلترهای پوشیده شده با ماتریژل کشت داده شد. سلولهای کشت یافته با میکروسکوپ نوری و میکروسکوپ الکترونی نگاره مورد بررسی قرار گرفتند. نمونه‌های بافتی از رحم نیز به عنوان گروه کنترل مطالعه شد.

یافته‌ها: نتایج بررسی‌های میکروسکوپ نوری و الکترونی نشان داد که در کشت اولیه سلولهای اپی‌تیلیوم آندومتر روی ماتریژل، این سلول‌ها شبیه سلول‌های *in vivo* هستند به طوری که سلول‌های دارای میکروویلی‌های راسی بوده و زواید سیتوپلاسمی بزرگ و صاف که پینوپود نامیده می‌شوند در غشای راسی سلول‌ها تشکیل شده بود.

نتیجه‌گیری: کشت اولیه سلول‌های اپی‌تیلیوم آندومتر موش روی ماتریژل در مدل کشت دو حفره‌ای با توجه به شباهت آن به شرایط *in vivo* می‌تواند ابزار مناسبی برای مطالعه فرآیندهای اساسی بیولوژی تولیدمثل و ایده‌های تحقیقاتی در زمینه بیولوژی سلول به شمار آید.

کلید واژه‌ها: آندومتر موش، فراساختار سلول اپی‌تیلیال قطبی شده، ماتریژل

مقدمه

لامه‌گزینی جنین آماده می‌شود و تغییرات مهمی در مورفولوژی سلول‌های اپی‌تیلیال واکنشهای اپی‌تیلیوم - استرومما و ترکیبات خارج سلولی آن روزی می‌دهد [۱-۴]. آندومتر در فاصله زمانی کوتاهی در مرحله ترشحی که implantation window می‌شود پذیرایی جنین است [۵-۷]. از جمله تغییرات موفولوژیکی سلول‌های اپی‌تیلیال آندومتر در مراحل ابتدایی اتصال جنین برای لامه‌گزینی تحلیل میکروویلی‌های سطحی و تشکیل برجستگی‌های بزرگ در غشای راسی سلول‌ها است. چنین ساختارهایی ابتدا در موش [۸] و سپس در رت [۹]

رحم در دستگاه تولید مثل ماده پستانداران نفس مهمی دارد. آندومتر رحم یک بافت آندوکرین و فعال از نظر بیوشیمیابی است که عملکرد آن تحت تأثیر هورمون‌های استروئیدی تحریکات پاراکرین و احتمالاً پیام‌هایی از طرف جنین در حال رشد قرار دارد. تولیدات ترشحی آندومتر بر بقا و نمو جنین پیش از لامه‌گزینی، هنگام لامه‌گزینی و تداوم بارداری تأثیر قابل ملاحظه‌ای دارد [۱]. آندومتر در طول سیکل ماهانه برای

آدرس مکاتبه: تهران، دانشگاه تربیت مدرس، گروه علوم تشریح،

صندوق پستی ۱۴۱۱۵-۱۱۱، Email: MR_Valojerdi@modares.ac.ir

Human Chorionic Gonadotropin ۷/۵ واحد بین‌المللی (HCG; Organon, Holland) قرار گرفتند و سپس به روش قطع نخاع گردن کشته شدند. بخشایی تولید مثلی از لوله‌های رحم تاگردن رحم به صورت یکپارچه برداشته شد و با بافر^۱ (HBSS) بدون کلسیم و منیزیوم حاوی پنی‌سیلین ۱۰۰ IU/ml و استریتو‌مایسین ۱۰۰ µg/ml شستشو داده شدند. مراحل بعدی در شرایط استریل با استفاده از میکروسکوپ معکوس انجام شد.

جadasازی سلولهای اپی‌تیال

نمونه‌های رحم پس از شستشو و جداکردن بافت همبند و چربی اطراف آنها و ایجاد یک برش طولی به قطعات کوچک خرد شده و به محلول آنزیمی کلاژنانز (collagenase; Sigma, USA) ۳/۷ درصد در لوله استریل انتقال یافتند و در انکوباتور ۳۷ درجه سانتی‌گراد به مدت ۳۰ دقیقه قرار گرفتند. در این مدت محتويات لوله هر ده دقیقه یک بار به آرامی تکان داده شد. پس از هضم آنزیمی لوله محتوى رحم و محلول آنزیمی از انکوباتور خارج به مدت یک دقیقه به آرامی تکان داده شد.

با استفاده از روش unit gravity sedimentation قطعات اپی‌تیال از بافت رحم جدا شد. به این ترتیب که پس از هم زدن محتويات لوله و قرار دادن آن در حالت عمودی به مدت ۳۰ ثانیه قطعات اپی‌تیال شناور به لوله دیگر محتوى ۱۰ میلی‌لیتر محیط کشت DMEM/HAMSF12 (Sigma; USA) همراه با ۱۰ درصد سرم جنین گوساله FCS (Seromed, Italy)^۲ انتقال یافتند. تعلیق و تهشیین قطعات اپی‌تیال چندین بار تکرار شد تا آنکه قطعات اپی‌تیال خالص تهیه شد.

کشت اولیه سلولهای اپی‌تیال

در کشت قطبی سلولهای اپی‌تیال رحم از سیستم کشت دو حفره‌ای استفاده شد. به این ترتیب که ابتدا فیلتر اینسروت^۳ (Millipore; USA) با قطر ۱۲ میلی‌متر و اندازه منفذ ۴/۰ میکرومتر در حفرات ظروف کشت قرار داده شد و ۱۵۰

شناسایی شدند و به علت عملکرد پینوستیوزیشان برای کاستن از مایعات رحم پینوپود نامیده شدند [۱۰]. از آنجا که عملکرد پینوستیوز این ساختارها در انسان به درستی شناخته نشده است به آنها uterodume گفته می‌شود [۱۱]. تغییرات غشای پلاسمایی سلول‌های اپیتیلیال آندومتر رحم، عملکرد برجستگی‌های غشای راسی آنها و ارتباط بین این ساختارها و پذیرندگی آندومتر رحم برای لانه گزینی جنین در تحقیقات زیادی مورد توجه قرار گرفته است [۱۲-۱۴]. با این وجود پرسش‌های اساسی در زمینه تشکیل و عملکرد پینوپودها در برخی گونه‌ها از جمله انسان وجود دارد [۱۵-۱۶]. کشت آندومتر و کشت سلول‌های اپی‌تیال آن با هدف بررسی فرآیندهای اساسی بیولوژی تولید مثل با روش‌های مختلف انجام شده است [۱۷]. در روش‌های متداول کشت سلول ویژگی‌های ساختاری و عملکردی سلول‌ها به تدریج تغییر می‌کند [۱۸] ولی کشت سلول‌های اپی‌تیال آندومتر روی ماتریکل (ماتریکس خارج سلولی) در سیستم کشت دو حفره‌ای به دلیل بهبود شرایط کشت از طریق تسهیل دسترسی سلول‌ها به مواد مورد نیاز و ایجاد بستر مناسب برای رشد سلول‌ها مدل مناسبی برای مطالعه و کشت این سلول‌ها به شمار می‌آید [۱۹]. در این مطالعه مورفولوژی سلولهای اپی‌تیالیوم آندومتر موش در شرایط کشت سلول از نظر تشکیل پینوپودها با استفاده از میکروسکوپ الکترونی نگاره با هدف پیشنهاد مدل مناسب برای تحقیقات بعدی بررسی شده است.

مواد و روشها

تهیه بافت رحم موش

موش‌های ماده نژاد NMRI با سن شش تا ده هفته از مؤسسه تحقیقات واکسن و سرم‌سازی رازی تهیه و در شرایط نوری ۱۲ ساعت روشنایی و ۱۲ ساعت تاریکی، دمای ۲۰-۲۵ درجه سانتی‌گراد و رطوبت ۴۰-۵۰ درصد نگهداری شدند. برای ایجاد وضعیت یکسان در بافت رحم، موشها تحت تزریق درون صفاقی ۷/۵ واحد بین‌المللی Pregnat Mares Serum (PMSG; Intervet, UK) Gonadotropine ۴۸ ساعت پس از

1. Hank's Balanced Salt Soution

2. Fetal Calf Serum

3. Filter insert

یافته‌ها

مشاهدات میکروسکوپ نوری

مشاهده کشت اولیه سلولهای اپی تیلیال آندومتر رحم توسط میکروسکوپ معکوس یک روز پس از کشت نشان داد که قطعات اپی تیلیال به ماتریژل چسبیده و به شکل مجموعه‌های کوچک سلولی دیده شدند (شکل ۱). اگر چه رشد سلولی به کندي صورت می‌گرفت ولی در روز هفتم پس از کشت صفحات بزرگی از سلولهای اپی تیلیال که به طور متراکم کنار یکدیگر قرار داشتند مشاهده شد. این صفحات سلولی سطح قابله ملاحظه‌ای از فیلتر اینسربت را می‌پوشاندند (شکل ۲). مشاهده میکروسکوپ نوری کشت قطبی سلولهای اپی تیلیال اطلاعات چندانی را از ویژگی سلولهای اپی تیلیال در اختیار قرار نمی‌داد.

مشاهدات میکروسکوپ الکترونی

در مشاهدات میکروسکوپ الکترونی از نمونه‌های بافت رحم ۲۴ و ۴۸ ساعت پس از تزریق HCG سطح سلولها دارای میکروویلی‌های فراوان بود و هیچگونه اختصاص یافتنگی غشای راسی سیتوپلاسم تحت عنوان پینوپود مشاهده نمی‌شد (شکل‌های ۴ و ۳) ولی در نمونه‌های بافت رحم ۷۲ ساعت پس از تزریق سطح سلولهای اپی تیلیال تغییرات ساختاری را نشان می‌داد. به این ترتیب که غشای راسی برخی سلولها صاف‌تر و کشیده‌تر به نظر می‌رسید، میکروویلی‌ها تحلیل رفته و برجستگی‌های کوتاه‌تری در سطح سلولهای اپی تیلیال ظاهر شده بود (شکل ۵).

در نمونه‌های کشت سلول، تک لایه سلول کاملی از سلولهای اپی تیلیال تشکیل شده بود و بین سلولهای اپی تیلیال شیارهای باریکی دیده می‌شد. در لایه‌لای سلولهای دارای میکروویلی‌های راسی تعدادی سلول دارای پینوپود مشاهده می‌شد. در برخی سلولها پینوپودها به طور کامل تشکیل شده بود و برخی سلولها نیز در حالات بینایی تشکیل پینوپود قرار داشتند (شکل‌های ۶-۸). مورفولوژی ظاهری سلولها بسیار شبیه نمونه‌های بافت رحم ۷۲ ساعت پس از تزریق بود.

میکرولیتر ماتریژل (ECM gel, Sigma; USA) با رقت ۱:۲ روی آن به آرامی ریخته شد و برای تشکیل ژل به مدت یک ساعت در انکوباتور ۳۷ درجه سانتی گراد قرار داده شد. پس از آن در حفره ظرف کشت ۵۰ میکرولیتر محیط کشت کامل شامل محیط کشت پایه ۱۰ DMEM/HAMSF12 همراه با ۱ درصد FCS و یک درصد NEAA^۱ (Gibco)، دو میلی‌مolar L-گلوتامین (L-Glutamin) ۱۰۰ u/ml، پنی‌سیلین، ۱۰۰ µg/ml استرپتومایسین و ITS شامل ۵۰ µg/ml انسولین، ۵۰ µg/ml ترانسفرین و ۵۰ ng/ml سلینیوم ریخته شد. در داخل فیلتر اینسربت نیز ۱۵۰ میکرولیتر محیط کشت کامل همراه با قطعات سلولهای اپی تیلیال ریخته شد به طوری که تقریباً ۲۰ درصد سطح فیلتر اینسربت با قطعات سلولهای اپی تیلیال پوشیده شد و ظرف کشت به انکوباتور ۳۷ درجه سانتی گراد منتقل شد.

تعویض محیط کشت سلولها هر ۴۸ ساعت یک بار انجام شد. سلولها به مدت هفت روز کشت داده شد و روزانه با میکروسکوپ نوری بررسی شدند.

میکروسکوپ الکترونی نگاره

برای مطالعه با میکروسکوپ الکترونی سلولهای مدل کشت قطبی هفت روز پس از شکت روی فیلتر اینسربت با محلول بافر فسفات شستشو داده شدند. تثیت اولیه سلولها در گلوتار آلدئید ۲/۵ درصد در بافر فسفات ۱/۰ مolar به مدت یک و نیم ساعت در دمای اتاق انجام شد. پس از آبگیری در محلولهای الكل با درجات افزایش یابنده، خشک کردن نمونه‌ها در محفظه Freeze drier انجام شد و برای پوشش دادن سطح و رسانگشتن پس از چسباندن آنها روی پایه مخصوص به دستگاه sputter coating منتقل و با طلا پوشش داده شدند. سلولها با میکروسکوپ الکترونی نگاره (Cambridge; UK) ارزیابی شدند.

نمونه‌های بافتی به ترتیب یک دو و سه روز پس از تزریق هورمون HCG برای بررسی با میکروسکوپ الکترونی نگاره به همین روش آماده‌سازی شدند و برای مقایسه مورد مطالعه قرار گرفتند.

1. Non Essential Amino Acid

بحث

انجام می شود [۲۷] مطالعات زیادی برای شناخت پینوپودها و عملکرد آنها به ویژه ارتباط آنها با پذیرندگی رحم انجام شده است [۱۲-۱۴]. بخش عمده‌ای از این مطالعات بررسی‌های بالینی با استفاده از نمونه‌های *in vivo* بوده است [۲۸]. مطالعات کشت بافت و سلول با توجه به دسترسی مشکل به نمونه‌های بافتی و وجود موانعی برای انجام برخی آزمایش‌ها روی موجودات زنده در تحقیقات بسیار سودمند است. از این‌رو کشت قطعات بافت آندومتر روی پلاستیک [۱۶]، به صورت شناور در محیط کشت [۲۹]، روی غشاها بیولوژیک [۳۰] و ماتری‌ژل [۳۱] و نیز کشت سلولهای اپی‌تیال آن در مدل کشت دو حفره‌ای [۳۲] و هم‌کشتی با سلولهای استرومایا [۳۳] با هدف بررس جنبه‌های مختلف ساختار و عملکرد آندومتر انجام شده است. از آنجاکه مطالعات آزمایشگاهی نقش ماده زمینه بردن سلولی را در تمایز ساختاری و عملکردی سلولها نشان داده است [۲۲] کشت سلولهای آندومتر روی ماتری‌ژل در مقایسه با کشت سلولها به تنها بی مناسبتر به نظر می‌رسد [۳۴] و می‌تواند سبب چسبیدن سلولهای اپی‌تیال از جمله سلولهای اپی‌تیال آندومتر و تمایز آنها شود [۳۵]. در این مطالعه نیز با استفاده از ماتری‌ژل در مدل کشت دو حفره‌ای سعی شد محیط کشت شبیه شرایط بدن موجود زنده فراهم شود تا سلولها در حد امکان ویژگی‌های خود را در محیط آزمایشگاه حفظ کنند و از این طریق اطلاعات سودمندتری با استفاده از چنین مدل کشت سلول درباره آندومتر به دست آید.

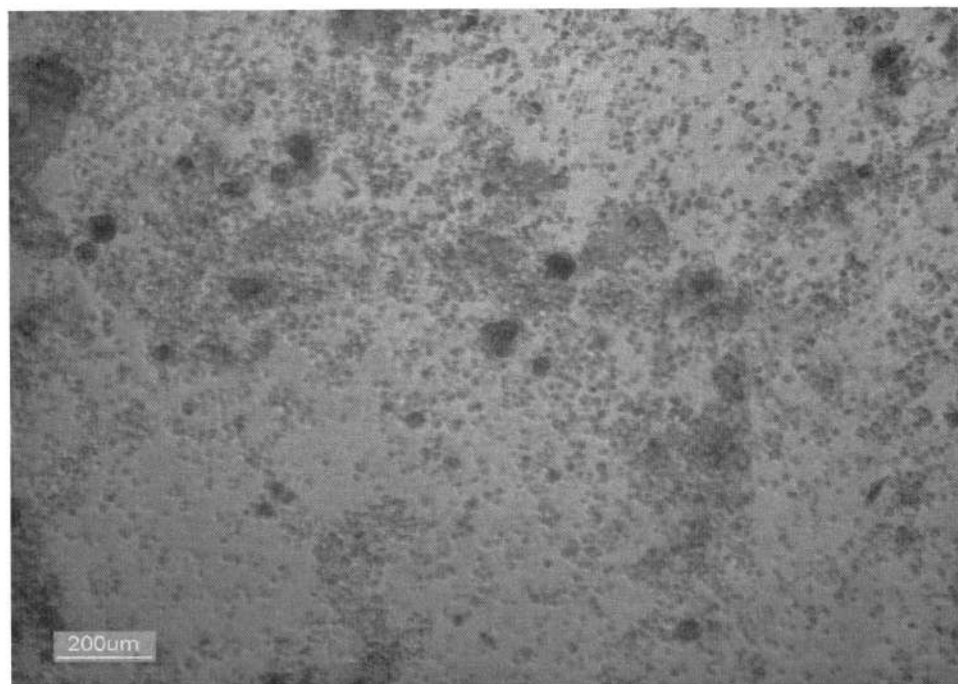
یافته‌های این مطالعه نشان می‌دهد که مورفو‌لوزی سلولهای اپی‌تیال آندومتر در مدل کشت سلول پیشنهاد شده شبیه این سلولها در بدن موجود زنده است. براساس مشاهدات میکروسکوپ الکترونی نگاره، سلولها تک لایه سلولی یکپارچه‌ای تشکیل دادند که علاوه بر میکرو‌ولیهای سطحی دارای برجستگی‌های بزرگ و صافی در غشای راسی خود بودند. تشکیل چنین ساختارهای می‌تواند نشان دهنده وجود شرایط مناسب برای حفظ خصوصیات مورفو‌لوزی سلولهای اپی‌تیال آندومتر در این مدل کشت سلول باشد. به نظر می‌رسد که ماتری‌ژل ماده زمینه تجاری که از سارکومای موش تهیه شده است به عنوان بستری مناسب در کشت سلول بتواند نقش غشای پایه را تقلید کند [۱۹] و از طریق واکنش متقابل بین مولکولهای چسبندگی غشای سلولهای اپی‌تیال و پروتئینهای خود به ایجاد مورفو‌لوزی طبیعی در این سلولها کمک کند [۲۰ و ۲۱]. سلولهای اپی‌تیال آندومتر رحم سلولهای فعل از نظر ترشحی هستند و انواع متفاوتی از ترکیبات شامل پروتئین‌ها [۲۲] هورمونها [۲۳] آنزیم‌ها [۲۴] و انواع سیتوکین‌ها [۲۵] را ترشح می‌کنند که برای فرآیندهای اساسی تولید مثل مانند بقا و نمو جنین و لانه‌گزینی آن ضروری هستند. باید توجه داشت که برداشت ترشحات از حفره رحم برای اتصال بلاستوسیست به رحم کاملاً ضروری است [۲۶]. این برداشت توسط برجستگی‌های رأسی غشای پلاسمایی یا همان پینوپوده

References

- Birkenfeld A, Navot D.** Endometrial cultures and their application to new reproductive technologies: A look ahead. *J In vitro Fertil Embryo Trans* 1990; 8(3): 119-26.
- Roberts DK, Walker NJ, Vavia LA.** Ultrastructure evidence of stromal/epithelial interactions in the human endometrial cycle. *Am J Obstet Gynecol* 1988; 158: 854-61.
- Parmley TH, Roberts DK, Emsa NJ.** Intracellular contacts between stromal cells in the normal human endometrium through the menstrual cycle. *Hum Pathol* 1990; 21: 1063-163.
- Dockery P, Ismail RMJ, Li TC.** The effect of a single dose of mifepristone (RU486) on the fine structure of the human endometrium during early luteal phase. *Hum Reprod* 1997; 12: 1778-84.
- Psychoyos A.** Hormonal control of uterine receptivity for nidation. *J Reprod Fertil* 1976; 25(Suppl): 17-28.
- Psychoyos A.** Uterine receptivity for nidation. *Ann N Y Acad Sci* 1986; 476: 36-42.
- Yoshinaga K.** Uterine receptivity for blastocyst implantation. *Ann N Y Acad Sci* 1988; 541: 424-31.
- Nilsson O.** Ultrastructure of mouse uterine surface epithelium under estrogenic influences. *J Ultrastruct*

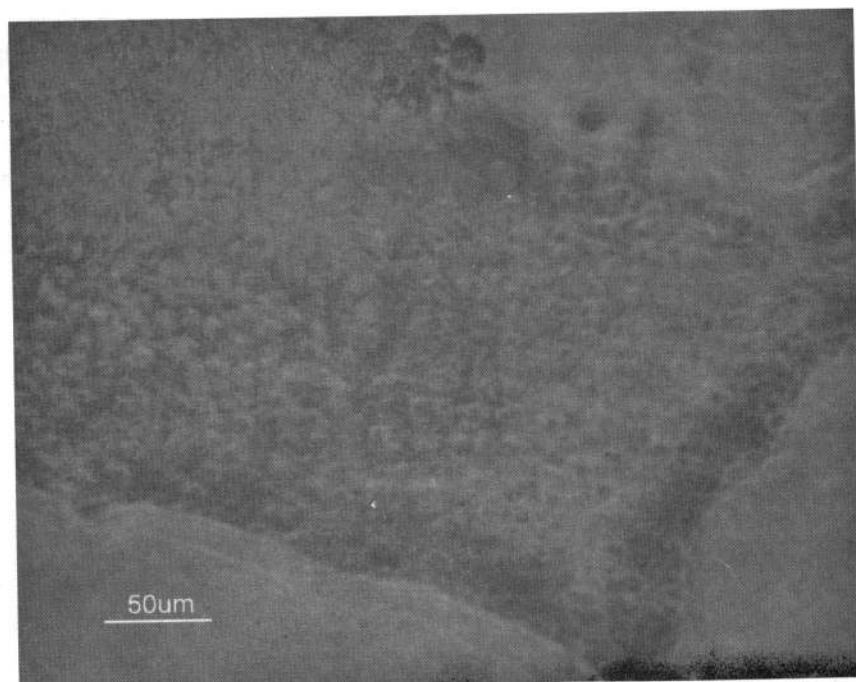
- Res 1954; 2: 73-95.
9. Warner RH, Enders AC. An electron microscopic study of the rat endometrium during delayed implantation. *Anat Rec* 1964; 148: 177-95.
 10. Enders AC, Nelson DM. Pinocytotic activity of the uterus of the rat. *Am J Anat* 1973; 138: 277-300.
 11. Murphy CR. The plasma membrane transformation of uterine epithelial cell during pregnancy. *J Reprod Fertil* 2000a; 55: 23-8.
 12. Johannesson E, Nilsson L. Scanning electron microscopic study of the human endometrium. *Fertil Steril* 1972; 78: 613-25.
 13. Psychoyos A, Nikas G. Uterine pinopods as a marker of uterine receptivity. *Assist Reprod Rev* 1994; 4: 26-32.
 14. Adams SM, Gayer N, Hosie MJ, Murphy CR. Human uterodomes (pinopods) do not display pinocytotic function. *Hum Reprod* 2002; 17(8): 1980-6.
 15. Adams SM, Gayer N, Terry V, Murphy C. Manipulation of the follicular phase: Uterodomes and pregnancy-is there a correlation. *BMC Pregnancy and Childbirth* 2001; 1: 2.
 16. Papanicolaou GN, Naddi FV. Observation on the behavior of human endometrial cells in tissue culture. *Am J Obstet Gynecol* 1985; 76: 601-18.
 17. Brikenfeld A, Ezra Y, Ron N, Navot D, Granovsky JG, Levij IS, Vlodavsky I. Indication of selective growth of human endometrial epithelial cell on extracellular matri. *In vitro Cell Dev Biol* 1988; 24: 1188.
 18. Glasser SR, Julian J, Decker GL, Tang JP, Carson DD. Development of morphological and functional polarity in primary cultures of immature rat uterine epithelial cells. *J Cell Biol* 1988; 107: 2409-23.
 19. Classen-Linke I, Kusche M, Knauth R, Beier HM. Establishment of human endometrial cell culture system and characterization of its polarized hormone responsive epithelial cells. *Cell Tissue Res* 1997; 287: 171-85.
 20. Davis GE, Camarillo CW. regulation of endometrial cell morphogenesis by integrins, mechanical factors, and matrix guidance pathways. *Exp Cell Res* 1995; 216: 113-23.
 21. Strunk E, Vollmer G. Variants of integrin $\beta 4$ subunit in human endometrial adenocarcinoma cells: mediators of ECM-induced differentiation? *Biochem Cell Biol* 1996; 74: 867-73.
 22. Beier-Hellwing K, sterzik K, Bonn B, Beier HM. Contribution to the physiology and pathology of endometrial receptivity: The determination of protein patterns in human utrine secretion. *Hum Reprod* 1989; 4: 115.
 23. Tseng L, Mazella J, Mann WJ, Chuma SJ. Estrogen synthesis in normal and malignant human endometrium. *J Clin Endocrinol Metab* 1982; 55: 1029-34.
 24. Tseng L, Gusberg SB, Gurpide E. Estradiol receptor and 17 β dehydrogenase in normal and abnormal human endometrium. *Ann NY Acad Sci* 1977; 286: 190-8.
 25. Bartosik D, Damjanov I, Viscarello RR, Riley J. Immunoproteins in the endometrium: clinical correlates of the presence of complement fraction C3 and C4. *Am J Obstet Gynecol* 1987; 156: 11-9.
 26. Nikas G, Drakakis P, Loutradis D. Uterine pinopodes as a markers of the "nidation window" in cycling women receiving exogenous oestradiol and progesterone. *Hum Reprod* 1995; 10: 1208-13.
 27. Parr MB, Parr EL. Utrir luminal epithelium: protrusions mediate endocytosis, not apocrine secretion, in the rat. *Biol Reprod* 1974; 11: 220-3.
 28. Beier HM, Beier-Hellwing K. Molecular and cellular aspects of endometrial receptivity. *Hum Reprod* 1998; 4(5): 448-58.
 29. Kliman HJ, Feinberg RF, Haimowitz JE. Human trophoblast-endometrial interactions in an in vitro suspension culture system. *Placenta* 1990; 11: 349-67.
 30. Wolber E-M, Kressin P, Meyhofer-Malik A. Differentiation induction of matrix metalloproteinase 1 and 2 in ectopic endometrium. *Reprod Biomed Online* 2003; 6: 238-43.
 31. Evers AS. Development and characterization of an endometrial tissue culture system. *Reprod Biomed Online* 2003; 7(2): 243-9.
 32. Yang JZ, Lock Sze Ho AL, Ajonuma LC. Differentiation effects of matrigel and its components on functional activity of CFTR and ENaC in mouse endometrial epithelial cells. *Cell Biol Inter* 2003; 100: 1-6.
 33. Bentin-Ley U, Lopata A. In vitro models of human

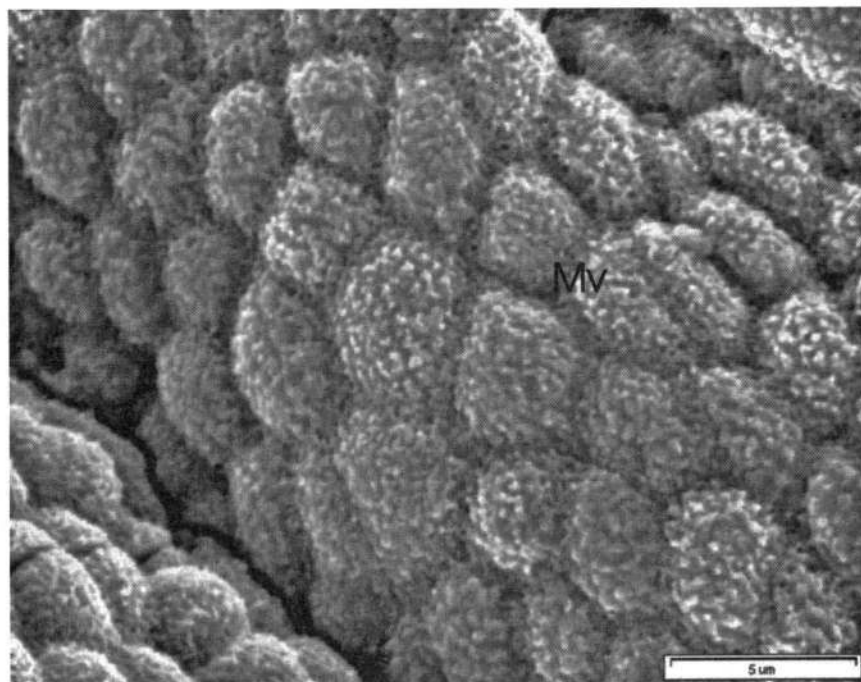
- blastocyst implantation. *Balliere's Clin Obstet Gynecol* 2000; 14: 765-77.
34. **Mahfoudi A, Nicollier M, Propper A, Cournes-Marquel S, Adessi G.** Establishment of endometrial glandular epithelial cell subculture in serum-free hormonally defined medium on basement membrane matrix. *Biol Cell* 1991; 71: 255-65.
35. **Emilia P, Francesca M, Ornella A.** Stromal-epithelial interactions modulate estrogen responsiveness in normal human endometrium. *Biol Reprod* 2001; 64: 83.



۸ شکل ۱. فتو میکرو گراف سلولهای اپیتیلیال کشت یافته روی ماتریژل در روز اول کشت. مجموعه های کوچک سلولی از سلولهای اپیتیلیال دیده می شود.

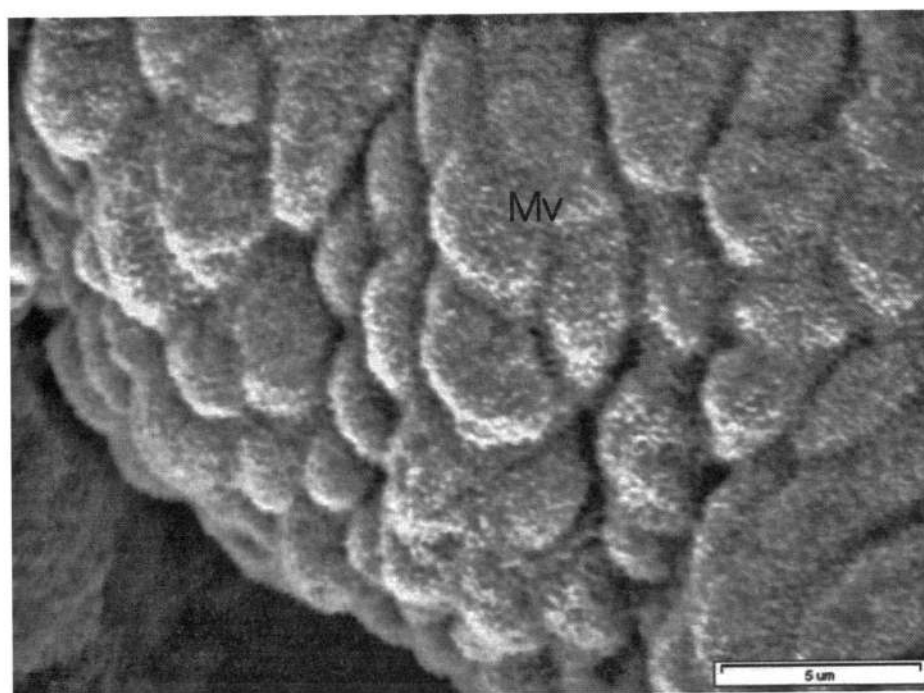
۷ شکل ۲. فتو میکرو گراف سلولهای اپیتیلیوم آندومتر کشت یافته روی ماتریژل در روز هفتم کشت. صفحات متراکمی از سلولهای اپیتیلیال در شکل دیده می شود.

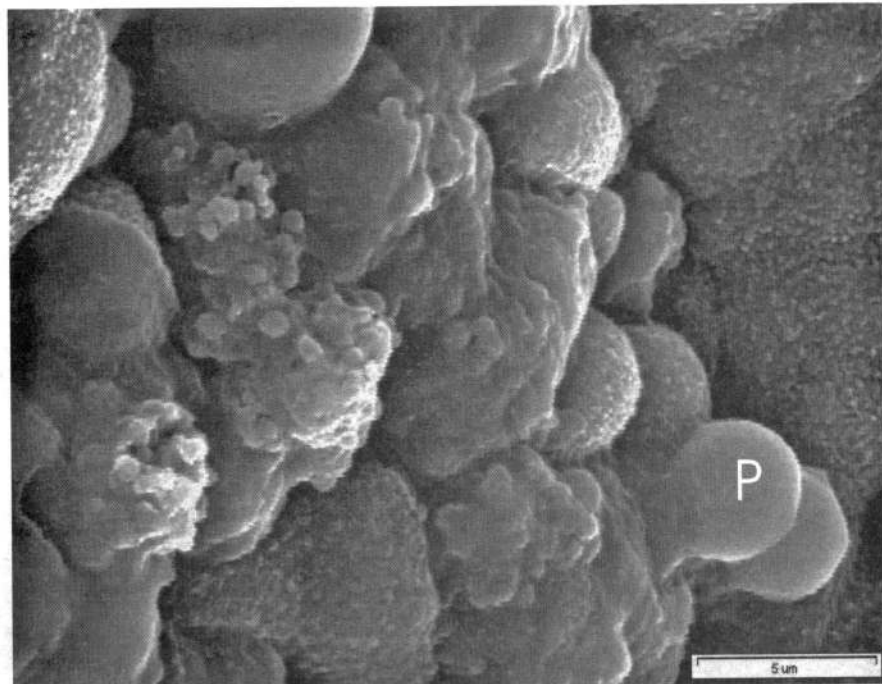




شکل ۲. میکروگراف الکترونی سلولهای اپیتلیوم آندومتر یک روز پس از تزریق HCG. سطح سلولها با میکروویلی‌های فراوان پوشیده شده است. MV: میکروویلی

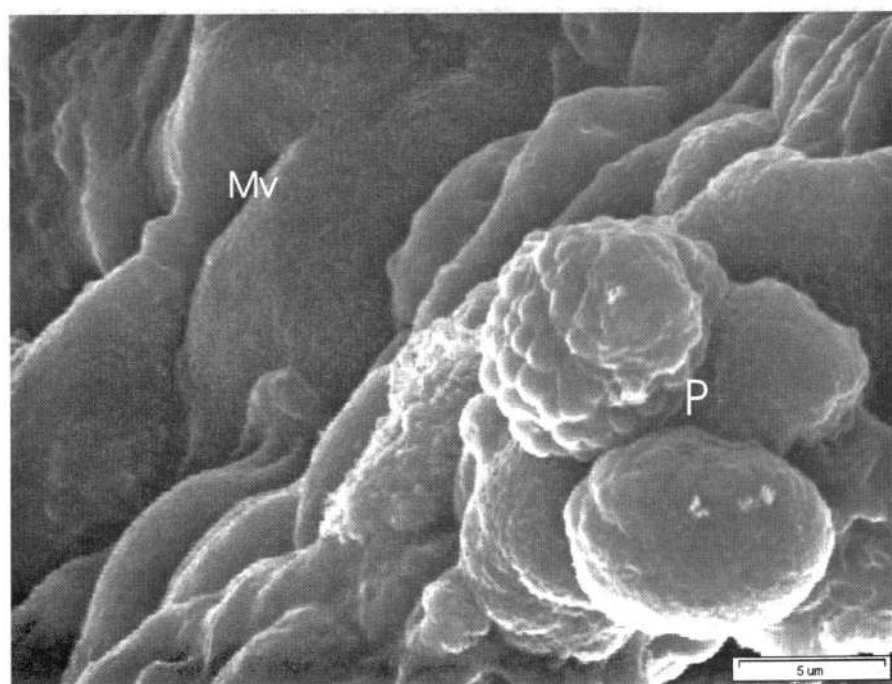
شکل ۳. میکروگراف الکترونی سلولهای اپیتلیوم آندومتر دو روز پس از تزریق HCG. در سطح سلول میکروویلی‌های فراوان دیده می‌شود. MV: میکروویلی

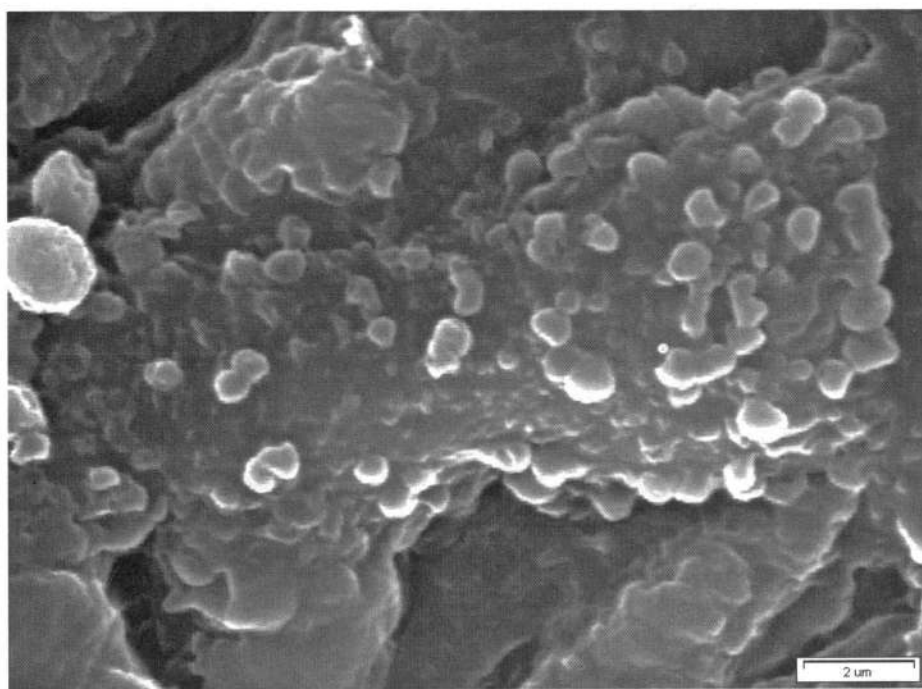




◀ شکل ۵. میکروگراف الکترونی سلولهای اپیتیلیال آندومترسه روز پس از تزریق HCG در روز هفتم کشت. علاوه بر میکروویل‌ها (MV)، پینوپودها (P) نیز در سطح سلولهای اپیتیلیال دیده می‌شوند.

◀ شکل ۶ میکروگراف الکترونی سلولهای اپیتیلیوم آندومتر کشت یافته روی ماتریژل در روز هفتم کشت. سلولهای اپیتیلیال قطبی شده در محیط کشت به طور منظم در کنار یکدیگر قرار گفته‌اند. میکروویل‌ها (MV)، پینوپودها (P) نیز در سطح سلولها بده می‌شوند.





◀ شکل ۷. میکروگراف الکترونی سلولهای اپیتلیال آندومتر کشت یافته روی ماتریژل و روز هفتم کشت. پینوپودهای در حال تشکیل (\ddagger) در سطح سلولها دیده می‌شود.

◀ شکل ۸. میکروگراف الکترونی سلولهای اپیتلیوم آندومتر کشت یافته روی ماتریژل در روز هفتم کشت. دو نوع مختلف سلول با سطح صاف (S) و سطح دارای میکروویلی (Mv) در شکل دیده می‌شود.

